

高等学校教学用書

# 内燃机車的液力傳动

И·Ф·謝米恰斯脫諾夫 著

人民鐵道出版社

高等学校教學用書

# 內燃機車的液力傳動

И · Ф · 謝米恰斯脫諾夫 著

上海交通大学內燃機車教研組 譯

人民鐵道出版社

一九五八年·北京

隨着鐵路運輸事業的日益發展，出現了新型牽引  
動力，如內燃機車、燃氣輪機車。目前在這二種機車  
上多採用著電力傳動裝置和液力傳動裝置，此二者孰  
優孰劣，至今尚未有定論。

寫作本書的目的是為了說明內燃機車液力傳動裝  
置的理論和設計方法，並附有具體的計算例題，以供  
教學以及選擇和設計傳動裝置時參考之用。

原書經蘇聯高等教育部批准作為高等學校『機車  
製造』專業的『機車傳動裝置』課程的教學參考書。

本書除作高等學校教材外，並可供從事內燃機車  
及燃氣輪機車的設計、製造、運用工程師、技術員以  
及其他有關人員參考。

本書由上海交通大學內燃機車教研組張耀芳、  
童祖楹、張益傑、陳文榮、張壽愷譯出，由張耀芳總  
校，並經柴志明審閱。

## 內燃機車的液力傳動

ГИДРАВЛИЧЕСКИЕ ПЕРЕДАЧИ ТЕПЛОВОЗОВ

苏联 И·Ф·СЕМИЧАСТНОВ 著

苏联国家机器制造書籍出版社（1956年莫斯科俄文版）

МАШГИЗ Москва 1956

上海交通大學內燃機車教研組譯

人民鐵道出版社出版（北京市霞公府17號）

北京市書刊出版業營業許可證出字第010號

新华書店發行

人民鐵道出版社印刷厂印（北京市建國門外七聖廟）

書號917 开本350×1168 $\frac{1}{2}$  印張6 $\frac{1}{2}$  插頁1 字數157千

1958年4月第1版

1958年4月第1版第1次印刷

印数0001—1,100册 定价(10) 1.10元

## 目 录

|                                  |    |
|----------------------------------|----|
| 緒論 .....                         | 1  |
| 第一 章 液力傳動用的工作液体 .....            | 2  |
| § 1. 液体力學簡要知識 .....              | 2  |
| § 2. 液力傳動用的工作液体 .....            | 9  |
| 第二 章 對內燃機車傳動裝置所提出的要求 .....       | 12 |
| 第三 章 容積式液力傳動裝置 .....             | 16 |
| § 3. 迴轉式傳動裝置 .....               | 16 |
| § 4. 帶有活塞式泵及迴轉式渦輪機的容積式傳動裝置 ..... | 19 |
| § 5. 容積式液力傳動裝置的基本關係 .....        | 21 |
| 第四 章 渦輪式液力傳動裝置發展簡史 .....         | 27 |
| 第五 章 渦輪變扭器和渦輪偶合器的計算 .....        | 35 |
| § 6. 渦輪機械的基本方程式 .....            | 35 |
| § 7. 單級式渦輪變扭器的分類 .....           | 38 |
| § 8. 設計第一類渦輪變扭器時主要尺寸的決定 .....    | 40 |
| § 9. 決定第二類渦輪變扭器的主要尺寸 .....       | 56 |
| § 10. 用類比法決定渦輪變扭器工作輪的主要尺寸 .....  | 59 |
| § 11. 渦輪偶合器的計算 .....             | 61 |
| 第六 章 渦輪變扭器與渦輪偶合器的能量平衡 .....      | 65 |
| § 12. 第一類渦輪變扭器的能量平衡 .....        | 65 |
| § 13. 渦輪變扭器內的損失 .....            | 68 |
| § 14. 第二類渦輪變扭器的能量平衡 .....        | 83 |
| § 15. 渦輪偶合器的能量平衡 .....           | 84 |
| 第七 章 繪制渦輪變扭器與渦輪偶合器的特性曲線 .....    | 85 |
| § 16. 渦輪變扭器的特性曲線 .....           | 85 |
| § 17. 渦輪偶合器的特性曲線 .....           | 94 |

|      |                                  |     |
|------|----------------------------------|-----|
| 第八章  | 决定渦輪變扭器工作輪叶片的形狀                  | 96  |
| §18. | 等角的射影                            | 96  |
| §19. | 决定渦輪變扭器泵輪叶片的形狀                   | 100 |
| §20. | 叶片模型切面的繪制                        | 105 |
| §21. | 制造渦輪變扭器泵輪的型心盒                    | 107 |
| 第九章  | 液力傳動裝置的調節                        | 108 |
| §22. | 渦輪變扭器的調節                         | 108 |
| §23. | 渦輪偶合器的調節                         | 112 |
| 第十章  | 內燃機車液力傳動裝置的主要類型                  | 117 |
| §24. | 帶有渦輪偶合器的變速箱                      | 117 |
| §25. | 具有變速箱的渦輪變扭器                      | 128 |
| §26. | 渦輪變扭器和渦輪偶合器                      | 139 |
| §27. | 渦輪變扭器和二只渦輪偶合器                    | 145 |
| §28. | 二只渦輪變扭器                          | 158 |
| §29. | 複合式液力傳動裝置                        | 162 |
| §30. | 三只依次工作的渦輪變扭器                     | 163 |
| 第十一章 | 內燃機車液力傳動裝置的計算方法                  | 168 |
| §31. | 決定機械增速器的傳動比                      | 168 |
| §32. | 帶有變速箱和渦輪偶合器的液力機械式傳動裝置            | 172 |
| §33. | 具有渦輪變扭器和變速箱的液力機械式傳動裝置            | 175 |
| §34. | 具有渦輪變扭器和二只渦輪偶合器的液力傳動裝置           | 178 |
| 第十二章 | 內燃機車液力傳動裝置的計算示例                  | 183 |
| §35. | 具有二只渦輪變扭器和一只渦輪偶合器的液力傳動裝置<br>計算示例 | 183 |
| §36. | 具有渦輪變扭器和變速箱的液力傳動裝置的計算示例          | 202 |
|      | 參考文獻                             | 206 |

## 第一章 液力傳動用的工作液体

### §1. 液体力学簡要知識

**理想液体。**在液体力学及液力机械中，为了在理論上研究液体的运动問題，採用了所謂理想液体的抽象概念。

所謂理想液体就是一种絕對不可压缩的液体，沒有粘性，分离时也不显示阻力。

對於理想液体的微小流束在不稳定流动时用的伯努利方程具有下列形式：

$$\frac{p}{\gamma} + z + \frac{v^2}{2g} + \int \frac{1}{g} \cdot \frac{\partial v}{\partial t} ds = f(t),$$

式中  $f(t)$  由作用於液体上外力的規律而定；

$$\int \frac{1}{g} \cdot \frac{\partial v}{\partial t} ds \text{ 項稱為慣性頭。}$$

在稳定流动时对二个断面 1 和 2 方程具有下列形式：

$$\frac{p_1}{\gamma} + z_1 + \frac{v_1^2}{2g} = \frac{p_2}{\gamma} + z_2 + \frac{v_2^2}{2g},$$

式中  $p$ ——压力，公斤/公尺<sup>2</sup>；

$v$ ——速度，公尺/秒；

$\gamma$ ——重率，公斤/公尺<sup>3</sup>；

$z$ ——液体水平面位置距基准面高度，公尺；

$s$ ——微小流束長度，公尺；

$g$ ——自由落体加速度，公尺/秒<sup>2</sup>。

实际液体本身的質點沒有足够的活動性，作用在質點間的粘着力和摩擦力使液体产生了黏性。

对微小流束的实际液体，伯努利方程具有下列形式：

$$\frac{p_1}{\gamma} + z_1 + \frac{v_1^2}{2g} = \frac{p_2}{\gamma} + z_2 + \frac{v_2^2}{2g} + h_n,$$

式中  $h_n$ ——沿流束長度上的損头，公尺。

实际液体全部液流在稳定流动情况下，对二个緩变流截面的伯努利方程具有下列形式：

$$\frac{p_1}{\gamma} + z_1 + \frac{a_1 v_1^2}{2g} = \frac{p_2}{\gamma} + z_2 + \frac{a_2 v_2^2}{2g} + h_n,$$

式中  $a_1$  和  $a_2$ ——液流动能分配不均匀系数。

实用上使系数  $a_1 = a_2 = 1$ ，在式中可以看出，其不准确性被按經驗公式决定的項目所抵偿了。

液体黏性的特征可由三个系数來說明：

(a) 动力黏性系数  $\mu$ ，公斤·秒/公尺<sup>2</sup>；

(b) 运动黏性系数  $v$ ，公尺<sup>2</sup>/秒

$$v = \frac{\mu}{\rho},$$

式中  $\rho$ ——液体密度，公斤·秒<sup>2</sup>/公尺<sup>4</sup>；

(c) 条件黏性系数  $BY_t$ ，單位是BY度，这里附标  $t$  表示在进行度量时的温度。

因为在計算时公式中包含有运动黏性的單位，那末为了近似地把条件黏性單位換算到运动黏性單位起見，可利用圖表或經驗公式

$$v = 10^{-6} \left( 7.31 BY - \frac{6.31}{BY} \right) \text{公尺}^2/\text{秒}。 \quad (1)$$

条件黏性系数及运动黏性系数都随着溫度而改变。

對於黏性在  $6^{\circ}\text{BY}_{50}$  以下的矿物油，当溫度在  $30 \sim 150^{\circ}\text{C}$  其运动黏性系数由下式决定

$$\nu_t = \nu_{50} \left( \frac{50}{t} \right)^n, \quad (2)$$

式中  $\nu_t$  —— 温度为  $t$  时的运动黏性系数，公分<sup>2</sup>/秒，指数  $n$  由条件黏性决定之：

$$\begin{array}{cccccccccc} \text{当 } By_{50} & = & 1.2 & 1.5 & 1.8 & 2.0 & 3.0 & 4.0 & 5.0 & 6.0 \\ n & = & 1.39 & 1.59 & 1.72 & 1.79 & 1.99 & 2.13 & 2.24 & 2.32. \end{array}$$

除温度外，液体的黏性还随压力的变化而变化。

在压力不太大时可以忽視压力对黏性的影响，因为这个影响只有压力在50公斤/公分<sup>2</sup>或以上时才明显地表現出来。

在溫度較高时油的黏性变化比溫度較低时为少。

**混合油的黏性由下式决定：**

$$By = \frac{aBy_1 + bBy_2 - k(By_1 - By_2)}{100}, \quad (3).$$

式中  $By$  —— 所求的混合油黏性，By度；

$a$  和  $b$  —— 混合油中各成份所佔的百分比 ( $a+b=100$ )；

$By_1$  和  $By_2$  —— 各成份的黏性，By度，而  $By_1 > By_2$ ；

$k$  —— 与  $a$  和  $b$  有关的經驗系数 (表 1)。

系数  $K$  和混合物組成部份百分比的关系

表 1

| $a$ | $b$ | $k$  | $a$ | $b$ | $k$  |
|-----|-----|------|-----|-----|------|
| 10  | 90  | 6.7  | 50  | 50  | 25.5 |
| 20  | 80  | 13.1 | 60  | 40  | 27.9 |
| 30  | 70  | 17.9 | 70  | 30  | 28.2 |
| 40  | 60  | 22.1 | 90  | 10  | 17.0 |

**重率。** 石油产品的重率与溫度的关系如圖 1 所示。

为了决定溫度不同於  $20^{\circ}\text{C}$  时石油产品的重率，必需自所給溫度沿横座标軸引出垂直線到重率是  $\gamma_2$  的直綫，再轉向縱坐標軸就得到了在所給溫度下的重率数值，如圖 1 中帶有箭头的直綫所示。

**膨胀系数。** 石油产品的体积和溫度的关系如下式所示：

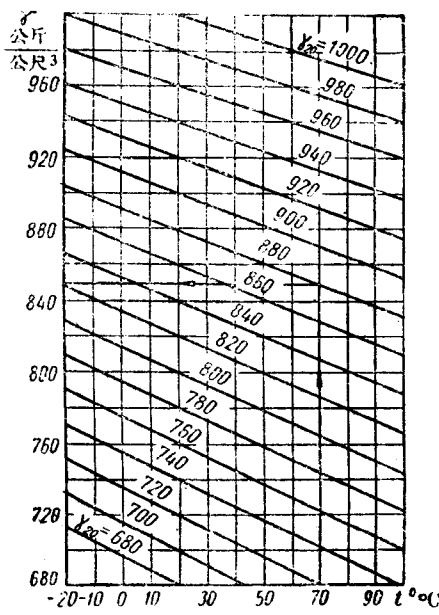


圖1. 石油产品的重率和温度的关系。

式中  $t$ ——加热温度; $\delta_{15}$ ——当温度为  $15^{\circ}\text{C}$  时石油产品的比重。

## 石油产品混合物的比热

石油产品的平均膨胀系数  $\alpha$  和比重的关系

表 2

| 比 重       | $\alpha$ | 比 重       | $\alpha$ | 比 重       | $\alpha$ |
|-----------|----------|-----------|----------|-----------|----------|
| 0.70~0.72 | 0.001255 | 0.80~0.82 | 0.000937 | 0.90~0.92 | 0.000688 |
| 0.72~0.74 | 0.001183 | 0.82~0.84 | 0.000882 | 0.92~0.94 | 0.000645 |
| 0.74~0.76 | 0.001118 | 0.84~0.86 | 0.000831 | 0.94~0.96 | 0.000604 |
| 0.76~0.78 | 0.001054 | 0.86~0.88 | 0.000782 | 0.96~0.98 | 0.000564 |
| 0.78~0.80 | 0.000995 | 0.88~0.90 | 0.000734 | 0.98~1.00 | 0.000526 |

① 方括弧中表示参考书籍的号次，它的目录引列于書后。

$$V_2 = V_1 [1 + \alpha(t_2 - t_1)],$$

(4)

式中  $V_2$  和  $V_1$ ——溫度为  $t_2$  和  $t_1$  时石油产  
品的体积；  $\alpha$ ——由表  
2 决定的膨胀系数。

## 石油产品的比热

〔2〕①。在苏联为了  
决定石油产品的比热而  
採用下列公式：

$$c_t = (0.345 + 0.000886t)$$

(2.1 -  $\delta_{15}$ ) 大卡/公斤，

(5)

$$c_m = c_1 m_1 + c_2 m_2 + c_3 m_3 + \dots,$$

式中  $c_m$ ——混合物比热；

$c_1, c_2, c_3$ ——各成份比热；

$m_1, m_2, m_3$ ——各成份重量。

**石油产品的傳热性。**石油产品的热傳导系数

$$\lambda_t = \alpha(1 + 0.02t) \text{ 大卡/公分秒}^{\circ}\text{C},$$

對於餾子油  $\alpha = 0.0003$ ，對於机器油  $\alpha = 0.00027$ 。

**黏性液体运动时的能量损失。**实际液体作任何运动时均有部份能量消耗於阻力之上。

在沿着不变截面管道（通道）运动时的摩擦損头和与液流速度激剧变化有关的局部損头是有区别的。

摩擦損头可用下式表示：

$$h_n = \lambda \frac{l}{d} \cdot \frac{v^2}{2g} = \lambda \frac{l}{R} \cdot \frac{v^2}{8g}, \quad (6)$$

式中  $l$ ——管道（通道）長度，公尺；

$v$ ——液流速度，公尺/秒；

$R$ ——液力半徑，公尺  $(R = \frac{F}{U})$ ；

$d$ ——管子直徑，公尺；

$F$ ——有效截面面积，公尺<sup>2</sup>；

$U$ ——湿周，公尺；

$\lambda$ ——摩擦系数，决定於由雷諾数 [6] 所表明的液体运动状态。

当層流状态时 ( $Re \leq 2320$ )，油在光滑管中的运动是

$$\lambda = \frac{75}{Re}; \quad (7)$$

当紊流状态时 ( $2320 < Re < 10^5$ )

$$\lambda = 0.3164 Re^{-0.25}; \quad (8)$$

当  $Re > 10^5$  时

$$\lambda = \frac{1}{(1.8 \lg Re - 1.5)^2} \quad (\text{科那可夫}) ; \quad (9)$$

$$\lambda = \frac{0.31}{\lg \left( \frac{Re}{Re \cdot \frac{\Delta_n}{d} + 7} \right)^2} \quad (\text{阿塔苏尔}) , \quad (10)$$

式中  $d$ ——管子直徑；

$\Delta_n$ ——計算粗糙度，由專門表格決定。

局部損頭由下式決定：

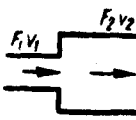
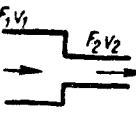
$$h_n = \zeta \frac{v^2}{2g} , \quad (11)$$

式中  $\zeta$ ——局部阻力系數，用實驗方法測定。

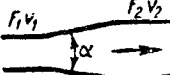
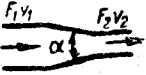
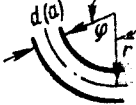
對於最常見的局部阻力系數  $\zeta$  引列於表 3 中。

典型的局部阻力系數 [6]

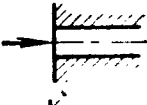
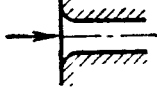
表 3

| 局部阻力型式 | 簡圖  | 局部阻力系數   |
|--------|---|--|
| 突然膨脹   |   | $h_n = \zeta \frac{v^2}{2g}$ $\zeta = \left( 1 - \frac{F_1}{F_2} \right)^2$  |
| 突然收縮   |  | $h_n = \zeta \frac{v^2}{2g}$ $\zeta = \frac{\xi_1}{\xi_\theta} + \left( \frac{1}{\xi_\theta} - 1 \right)^2$ $\xi_1 = 0.003 \sim 0.06$ $\xi_\theta = 0.62 \sim 0.63 \quad (\text{进口帶有銳邊})$ $\xi_\theta = 0.7 \sim 0.99 \quad (\text{进口帶有圓邊})$ |

續表 3

| 局部阻力型式          | 简图  | 局部阻力系数   |
|-----------------|---|--|
| 逐渐膨胀 (渐扩管)      |    | $h_n = \zeta \frac{v_1^2}{2g}$ $\zeta = 0.15 \sim 0.2 \left[ 1 - \left( \frac{F_1}{F_2} \right)^2 \right]$ 当 $\alpha = 8^\circ$ 时<br>$\zeta = \sin \alpha \left( 1 - \frac{F_1}{F_2} \right)^2$ 当 $8^\circ < \alpha < 30^\circ$ 时<br>$\zeta = \left( 1 - \frac{F_1}{F_2} \right)^2$ 当 $\alpha > 30^\circ$ 时<br>最小损失在 $\alpha = 10 \sim 12^\circ$ 时获得, 此时 $\zeta = 0.2$ |
| 逐渐收缩 (渐缩管)      |    | $h_n = \zeta \frac{v_2^2}{2g}$ $\zeta = 0.005 \sim 0.06 (\alpha < 5^\circ)$ $\zeta = 0.16 \sim 0.24 (7^\circ < \alpha < 30^\circ)$   |
| 液流转弯:           |   |  |
| (1) 圆角          |   | $\zeta = 0.14 \sim 0.3$ $\frac{d}{r} = 0.4 \sim 1.0 \text{ 和 } \varphi = 90^\circ$ 当其他 $\varphi$ 时 $\zeta \varphi = \zeta \frac{\varphi}{90^\circ}$  |
| (a) 圆断面         |   |  |
| (b) 正方形断面       |  | $\zeta = 0.13 + 0.16 \left( \frac{a}{r} \right)^{3.5}$   |
| (2) 直角弯管        |  | $\zeta = 1 \sim 1.5$   |
| (3) 带有导向叶片的直角弯管 |   | $\zeta = 0.25 \sim 0.4$  |

續表 3

| 局部阻力型式          | 簡圖  | 局部阻力系数                             |
|-----------------|---|------------------------------------|
| 进入管子：<br>管口带有銳邊 |  | $\zeta = 0.5$                      |
| 管口帶有圓邊          |  | $\zeta = 0.02 \sim 0.1$<br>与圓角半徑有关 |
| 由管子进入大尺寸的容器     |  | $\zeta = 1.0$                      |

## §2. 液力傳動用的工作液体

液体的重率愈大，則液力傳動裝置的尺寸愈小，因此會有人企圖利用最重的液体——汞來作為液力傳動裝置的工作液体。但是由於下列理由使汞不能作為工作液体：汞的蒸氣對於工作人員是有害的，汞具有表面不可潤濕的特性，而且不宜作為摩擦面的潤滑劑。

液力傳動裝置最常用的液体是水和矿物油，它們的採用與傳動裝置的應用地點有關。例如，水應用於船舶的傳動裝置。在這些情況里不需要裝置冷卻器來冷卻工作液体，因為可將船邊的水供應到傳動裝置中去，而由傳動裝置中出來的溫水自船邊流出。但是在大多數裝置中水是不良的工作液体。這時軸承必需細心地加以隔離，這就使傳動裝置的尺寸增大。此外，傳動裝置必需用耐蝕的金屬制成。

如採用水，則所求得的液力傳動裝置的尺寸比用油情況下要小一些。

與油比較水具有某些優點：它不會產生持續性的泡沫（泡沫

減低了被傳送的功率），水的比熱比油大一倍，熱傳導系數比油大四倍。

內燃機車上液力傳動裝置的工作液体要採用上等的礦物油。這主要是由於液力傳動總是與齒輪傳動製造在一起，工作油可以同時作為齒輪和軸承潤滑之用。

對用於液力傳動裝置上的油類提出了下列要求〔13〕，〔11〕，〔18〕：

1. 油應該具有潤滑的能力。
2. 為了避免產生較大的液力損失起見，油的黏性條件必需是 $B_{\eta}^{\circ}=2 \sim 3$ 。
3. 當溫度改變時油的黏性不應該改變得太大。
4. 油內不應該含有皂脂，否則就會產生持續性的泡沫，這就降低被傳送的功率。

用於液力傳動裝置中的某些油類的物理-化學性質 表 4

| 名 称   | 鏡子油             |                | 机器油             | 軸承油            |             | 渦輪机油          |              | 變壓器油           |
|---|-----------------|----------------|-----------------|----------------|-------------|---------------|--------------|----------------|
|   | 12              | 20             |                 | 30             | 3           | C             | 22           |                |
|   | ГОСТ<br>1707-51 |                | ГОСТ<br>1707-51 | ГОСТ<br>610-48 |             | ГОСТ<br>32-53 |              | ГОСТ<br>982-53 |
| 重率，克/公分 <sup>3</sup> *                      | 0.876<br>0.891  | 0.881<br>0.901 | —               | —              | —           | 0.901         | 0.901        | 0.896          |
| 50°C时的黏性：                                   |                 |                |                 |                |             |               |              |                |
| (a) <u>运动黏性</u> ，厘司<br>(厘米 <sup>2</sup> /秒) | 10—14           | 17—23          | 27—33           | 20—25          | 12—14       | 20—23         | 28—32        | 不大於<br>9.6     |
| (b) <u>相应的条件黏性</u> ， $B_{\eta}^{\circ}$     | 1.86—<br>2.26   | 2.6—<br>3.31   | 3.81—<br>4.59   | 3.0—<br>3.5    | 2.0—<br>2.2 | 2.9—<br>3.2*  | 3.5—<br>4.5* | 不大於<br>1.8*    |
| 閃點，°C(在無蓋坩堝<br>中定出)                         | 165             | 170            | 180             | 130            | 125         | 180           | 180          | 135            |
| 凝固溫度 (°C) 不大於                               | -30             | -20            | -15             | -40            | -55         | -15           | -10          | -45            |

\* 在ГОСТ中無附加說明

5. 油的閃點，也就是當火焰移近時油的蒸汽發生閃火時的溫度，不應該低於  $160^{\circ}\text{C}$ 。

6. 油的凝固溫度不應高於  $-30^{\circ}\text{C}$ 。

7. 在運用時油的正常溫度應在  $70\sim80^{\circ}\text{C}$  的範圍之內，因為當溫度再高時油就開始喪失其潤滑特性。

8. 油不應該含有能溶於水的酸類及鹼類，因為它們將引起另件的腐蝕。

9. 油中應該不含瀝青，因為高溫時後者將被分離，並沉積在管道的內壁及閥和孔道內通過截面上。

為了延長礦物油類的使用期限，在油中加了一些抗氧化劑，對於渦輪机油及變壓器油這些抗氧化劑是對苯二酚及苯胺。

液力傳動裝置中所採用油類的特性列在表 4 上。

對於上述大多數油類的黏性和溫度的關係曲線繪在圖 2 上。

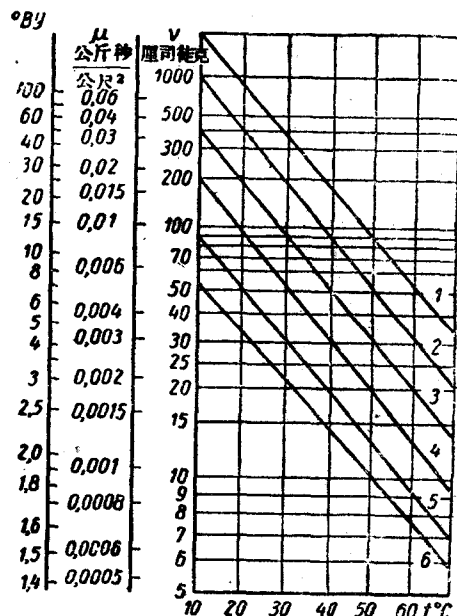


圖2. 某些油類的黏性和溫度的關係曲線：  
1 —— 2號氣缸油； 2 —— 45號機器油； 3 ——  
30號機器油； 4 —— 22號渦輪機油及 20號鏈子  
油； 5 —— 12號鏈子油； 6 —— 變壓器油。

## 第二章 对内燃机车传动装置所提出的要求

机车在非常复杂的条件下工作。他们牵引着不同重量的列车。在某些情况下机车单机行驶。各线路的纵断面由于自然条件是不同的，因而机车不得不牵引着列车经过平道、下坡与上坡。

在特殊情况下（旅客列车高速运行时，在紧急制动及调车工作时）最好用机车进行制动，为此它必需作负功。所以，机车的牵引力及速度必需能自零改变到最大可能的数值。

由此可见，对于机车动力装置的特性曲线要求具有相当的柔軟性。

裝設在机车上的柴油机，虽然經濟性較高，但可惜不具备自动调节的重要性質。

最初，把内燃机应用到机车上的問題用二个方法解决：

1. 制造專門的，把力矩直接傳遞給内燃机車輪对的牽引内燃机。

B. I. 格利涅凡茨基教授 [4] 在莫斯科高等工业学校内对这方面曾进行了巨大的工作，并且在那里制成及試驗了本身結構可逆轉的發动机。

莫斯科高等工业学校内与格利涅凡茨基教授一起研究制造内燃机問題的还有他的学生 A. H. 謝列斯特教授 [20] 。

还在学生时代，A. H. 謝列斯特就提出了新的内燃机工作原理。这种發动机不从曲軸送出能量，而是产生一定压力及溫度的燃气，因此这种發动机就被称为机械式燃气發生器。被压缩的气体就用来驅动燃气輪机或活塞式發动机。

謝列斯特教授的第一个机械活塞式燃气發生器是四冲程的。由於沒有从机械式燃气發生器的軸上輸出能量，所以以后就开始

根据二冲程循环把机械式燃气發生器做成無軸的，或称它是自由活塞式燃气發生器。

在他最后几年的生活中，A. H. 謝列斯特致力於具有無軸的活塞式燃气發生器和燃气輪机的內燃机車設計工作。

曾經提出很多种關於适合於机車上工作的內燃机的方案，然而專門用在机車上並直接傳遞力矩給輪对的牽引發动机的制造工作，到目前为止尚未越出試驗阶段。

2. 在柴油机及內燃机車輪对之間建造可靠的傳動裝置，來改變柴油机柔軟性的不足和使它能适合鐵路服务的条件。

現在我們来研究，怎样的特性曲綫才能适合鐵路服务条件的需要以及柴油机具有怎样的特性曲綫。当柴油机裝設到机車上后，则使用它的全部功率，也就是在列車所有的运动状态中功率保持不变是合理的。

从輪周牽引力的公式得

$$N_k = N_n \eta_n = \frac{F_k V}{270} = \text{常量},$$

(12)

当  $\eta_n = 1.0$  时有

$$F_{ki} V = N_{ki} 270 = C = \text{常量},$$

由此可見，牽引力和速度的关系应接双曲綫而改变（圖 3）。

这里  $N_k$ ——輪周功率，馬力；

$N_n$ ——傳動功率；

$\eta_n$ ——傳動效率；

$F_k$ ——輪周牽引力，公斤；

$V$ ——机車速度，公里/小时；

$F_{ki}$  与  $N_{ki}$ ——当  $\eta_n = 1$  时的理想牽引力及理想功率。

圖 4 上引列了柴油机的特性曲綫。

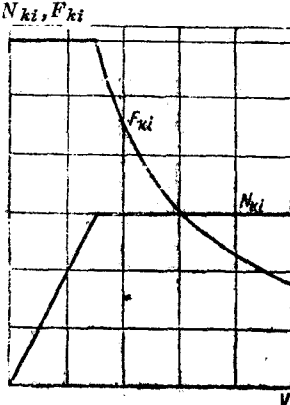


圖3. 机車理想牽引特性  
曲綫：

$F_{ki}$  及  $N_{ki}$ ——不考慮損失的  
輪周牽引力及輪周功率。